

استفاده از مدل‌های ترکیبی و ردیاب‌ها جهت تعیین سهم واحدهای کاربری اراضی در میزان فرسایش و رسوب
(مطالعه موردي: حوزه آبخیز تنگ بستانک، استان فارس)

احمد نوحه‌گر - استاد ژئومورفولوژی، دانشگاه تهران، تهران، ایران

محمد کاظمی^۱ - دانشجوی دکتری آبخیزداری، دانشگاه هرمزگان، ایران

سیدجواد احمدی - دانشیار شیمی، پژوهشکده چرخه سوخت، سازمان انرژی اتمی، ایران

حمید غلامی - استادیار بیابان‌زدایی، دانشگاه هرمزگان، ایران

رسول مهدوی - استادیار ژئومورفولوژی، دانشگاه هرمزگان، ایران

تاریخ دریافت: ۱۳۹۵/۲/۲۵ تاریخ تصویب: ۱۳۹۵/۱۱/۱۷

چکیده

فرسایش خاک و تولید رسوب یکی از مخرب‌ترین پدیده‌هایی است که موجب خسارت‌های فراوان در مناطق مختلف شده است. از طرفی جهت مبارزه با این پدیده و اجرای پروژه‌های حفاظت خاک، نیاز به آگاهی از اطلاعات مکانی منابع رسوبات تولیدی در یک منطقه است. روش انگشت‌نگاری رسوب بر پایه ردیاب‌های ژئوشیمیابی، آلی، نسبت‌های ایزوتوپی و نیز استفاده از مدل‌های ترکیبی مختلف باعث شناخت سهم منابع مختلف رسوب در یک ناحیه می‌شود. در تحقیق حاضر با استفاده از ترکیب بهینه ردیاب‌های آلی، ژئوشیمیابی و نسبت‌های ایزوتوپی اقدام به تفکیک منابع مختلف فرسایش و تولید رسوب و سپس تعیین سهم این منابع با استفاده از مدل‌های کالینز (Collins)، کالینز اصلاح‌شده (Collins)، موتا (Motha)، لاندور (Landwehr) و اسلاتری (Slattery) شد. جهت تعیین بهترین مدل در این‌باره از شاخص‌های GOF و RMSE و تطبیق نتایج با اندازه‌گیری واقعی مقادیر رسوب برپایه مدل BLM و واحدهای شدت فرسایش استفاده شد. عناصر کربن، مس، تیتانیوم و سیلیکون به عنوان ردیاب‌های تکیکی کننده واحدهای کاربری اراضی شناخته شدند و مدل ترکیبی کالینز اصلاح شده (Collins) با شاخص‌های GOF ۰/۹۹٪ و RMSE ۰/۰۷٪ به عنوان بهترین مدل انتخاب شد. نتایج اندازه‌گیری صحرایی میزان رسوب تولیدی از کاربری‌های مختلف اراضی نشان داد مراتع با پوشش‌های گیاهی ضعیف و متوسط و با اهمیت نسبی ۸/۳ در اولویت مدیریت حفاظت خاک قرار دارند. مدل‌های ترکیبی نشان دادند بیشترین سهم در فرسایش و رسوب حوزه مربوط به مراتع ضعیف و تخریب یافته منطقه با درصد مساحت ۰/۴۷ و سهم ۰/۰۴ درصد می‌باشد و اراضی زراعی کمترین نقش را تولید رسوب منطقه دارند. همچنین نتایج مدل موتا با ضریب همبستگی ۰/۹۲۴ کمترین اختلاف را با مقادیر اندازه‌گیری شده داشت.

کلیدواژه‌ها: انگشت‌نگاری، ردیاب‌ها، رسوب، مدل‌های ترکیبی، تنگ بستانک.

۱. مقدمه

لازمه اجرای برنامه‌های حفاظت خاک و کترل رسوب، کسب اطلاع از اهمیت نسبی منابع رسوب و سهم آنها در تولید رسوب و در نتیجه مناطق بحرانی حوزه آبخیز است (کالینز و همکاران،^۱ ۲۰۱۰؛ پالازون و همکاران،^۲ ۲۰۱۵؛ ۲۰۶۸). کاهش تولید رسوب نیازمند اجرای روش‌های مناسب کترل رسوب و حفاظت خاک در مناطق بحرانی منبع رسوب در حوزه آبخیز است (پاتریک و همکاران،^۳ ۲۰۱۵؛ ۲۱۱۸) و لازمه شناخت روش مناسب و اجرای صحیح برنامه‌های حفاظت خاک شناخت و شناسایی اهمیت نسبی منابع رسوب و میزان سهم هر یک از منابع رسوب (چن و همکاران،^۴ ۲۰۱۶؛ ۱۲۴) در تولید رسوب است. بنابراین توسعه و ارتقاء روش‌های مدل‌سازی منشأیابی رسوب در مدیریت جامع حوزه‌های آبخیز ضروری است (نجفی و صادقی،^۵ ۱۳۹۲؛ ۱۶۶). در روش‌های سنتی با مشکلات نمونه‌برداری مکانی و زمانی و تنگناهای اجرایی مواجه بودند و بعضی از آن‌ها به زمان و هزینه زیادی نیاز داشتند (کالینز و والینگ،^۶ ۲۰۰۴؛ ۱۶۱). به دلیل وجود مشکلات یاد شده در مورد روش‌های سنتی، روش‌های جدید با عنوان ردیابی، منشأیابی و انگشت‌نگاری به عنوان روشی جایگزین و مناسب مورد توجه محققان مختلف قرار گرفته است (کویتر و همکاران،^۷ ۲۰۱۳؛ ۲۵) و باعث شناخت و درک بهتری از فرسایش شده‌است (فرنز و همکاران،^۸ ۲۰۱۲؛ ۵۱۴). انگشت‌نگاری رسوب براساس ارتباط بین میزان ردیاب‌های موجود در رسوبات و منابع متناظر رسوب در سطح حوزه استوار است که امکان تشخیص منابع بالقوه تولید رسوب و میزان سهم هر منبع در رسوب خروجی از حوزه براساس خصوصیات انگشت‌نگاری را فراهم می‌کند. در این روش ویژگی‌های فیزیکی، ژئوشیمیابی و آلی رسوب و منابع رسوب برای تعیین منابع اصلی رسوب و اهمیت نسبی آنها مورد بهره‌برداری قرار می‌گیرند (والینگ،^۹ ۲۰۰۵؛ ۱۶۰). از جمله تحقیقات داخلی می‌توان به تحقیق نصرتی و همکاران (۱۳۹۴) اشاره کرد. نامبردگان از یازده عنصر به عنوان ردیاب‌های اویلیه استفاده کردند که چهار عنصر منگنز، کربن، منیزیم و کلسیم به عنوان ترکیب بهینه جهت تفکیک سهم کاربری‌های مختلف اراضی در مدل ترکیبی استفاده شدند. نامبردگان سهم اراضی کشاورزی، مرتع و جنگل در تولید رسوب معلق و بارکف را به ترتیب ۵۳/۴، ۳۰/۴ و ۱۶/۲ درصد اعلام کردند. غلامی و همکاران (۱۳۹۴) با استفاده از مدل ترکیبی به بررسی سهم کاربری‌های اراضی در تولید رسوب تپه‌های ماسه‌ای در منطقه ارگ‌نگار بر دسیر استان کرمان پرداختند.

۱ Collins et. al.

۲ Palazón et. al.

۳ Patrick et. al.

۴ Chen et. al.

۵ Collins and Walling

۶ Koiter et. al.

۷ Franz et. al.

۸ Walling

نامبردگان از دو عنصر کلسیم و منیزیم به عنوان ردیاب استفاده کردند. نامبردگان سهم کاربری‌های کشاورزی، مرتع و اراضی بایر را به ترتیب ۵۰/۵۲٪، ۳۴/۲۶٪ و ۱۴/۲۳٪ اعلام کردند. نجفی و صادقی (۱۳۹۲) با استفاده از تهیه نقشه سیمای فرسایش، انگشت‌نگاری و اندازه‌گیری میدانی سهم منابع مختلف تولید رسوب را در حوزه آبخیز ایده‌لو محاسبه کردند. نامبردگان نتایج اندازه‌گیری میدانی منطبق بر نتایج روش انگشت‌نگاری رسوب دانستند. قابل ذکر است که کلیه تحقیقات داخلی از مدل ترکیبی کالینز^۱ (۱۹۹۷) و یا کالینز اصلاح شده^۲ (۲۰۱۰) استفاده کردند و تاکنون گزارشی مبنی بر استفاده از سایر مدل‌های ترکیبی همچون موتا (۲۰۰۴)، لاندور (۲۰۱۰) و اسلامتی (۲۰۰۰) گزارش نشده است. در زمینه تحقیقات خارجی می‌توان به تحقیقات چن و همکاران (۲۰۱۶) بروی واحدهای کاربری اراضی چراگاه، مراتع با پوشش گیاهی متراکم، جنگل و خندق‌ها با استفاده از روش منشاء‌یابی رسوبات اشاره کرد. نامبردگان بیان کردند که جنگل‌های جوان (پوشش ضعیف) و چراگاه‌ها با سهم‌های ۵۰/۵٪ و ۶/۲۵٪ بیشترین سهم را در تولید رسوب در محدوده مورد مطالعه داشته‌اند. ونگ و همکاران^۳ (۲۰۱۴) با استفاده از رسوبات به دام افتاده از پشت سد در فلات لس چین توانستند تغییرات سهم منابع مختلف رسوب را با استفاده از رصد تغییرات کاربری اراضی پایش کنند. مرور منابع مختلف نشان می‌دهد که برای تعیین اهمیت و سهم‌نسبی منابع رسوب از لایه‌های اطلاعاتی مختلف کاربری اراضی، فرسایش‌های سطحی و زیرسطحی (راسل و همکاران، ۲۰۰۱^۴) و واحدهای سنگ‌شناسی (کالینز و والینگ، ۲۰۰۲^۵) استفاده شده‌است. همچنین جمع‌بندی سوابق پژوهش مستند موجود دلالت بر عدم توجه کافی (بجز مطالعه صادقی و نجفی (۱۳۹۲)) سوابق یادشده به ارزیابی مقایسه‌ای نتایج حاصل از هر یک از شیوه‌های به کار گرفته‌شده و مقادیر اندازه‌گیری‌های صحرایی در سطوح حوزه آبخیز بوده که ضرورت انجام تحقیقات در این زمینه را تأیید می‌نماید. در تحقیق حاضر جهت مشخص کردن سهم و اهمیت‌نسبی کاربری‌های اراضی موجود در منطقه تنگ‌بستانک استان فارس از مدل‌های ترکیبی کالینز، کالینز اصلاح شده، لاندور و اسلامتی و نیز اندازه‌گیری‌های صحرایی به همراه دو شاخص ارزیابی GOF و RMSE استفاده شد تا با تعیین ترکیب مناسبی از ردیاب‌های قادر به تفکیک منابع رسوب، کاری روشنگشت‌نگاری ترکیبی، در واحدهای کاربری اراضی مدنظر قرار گیرد.

1 Collins

2 Modified Collins

3 Wang et. al.

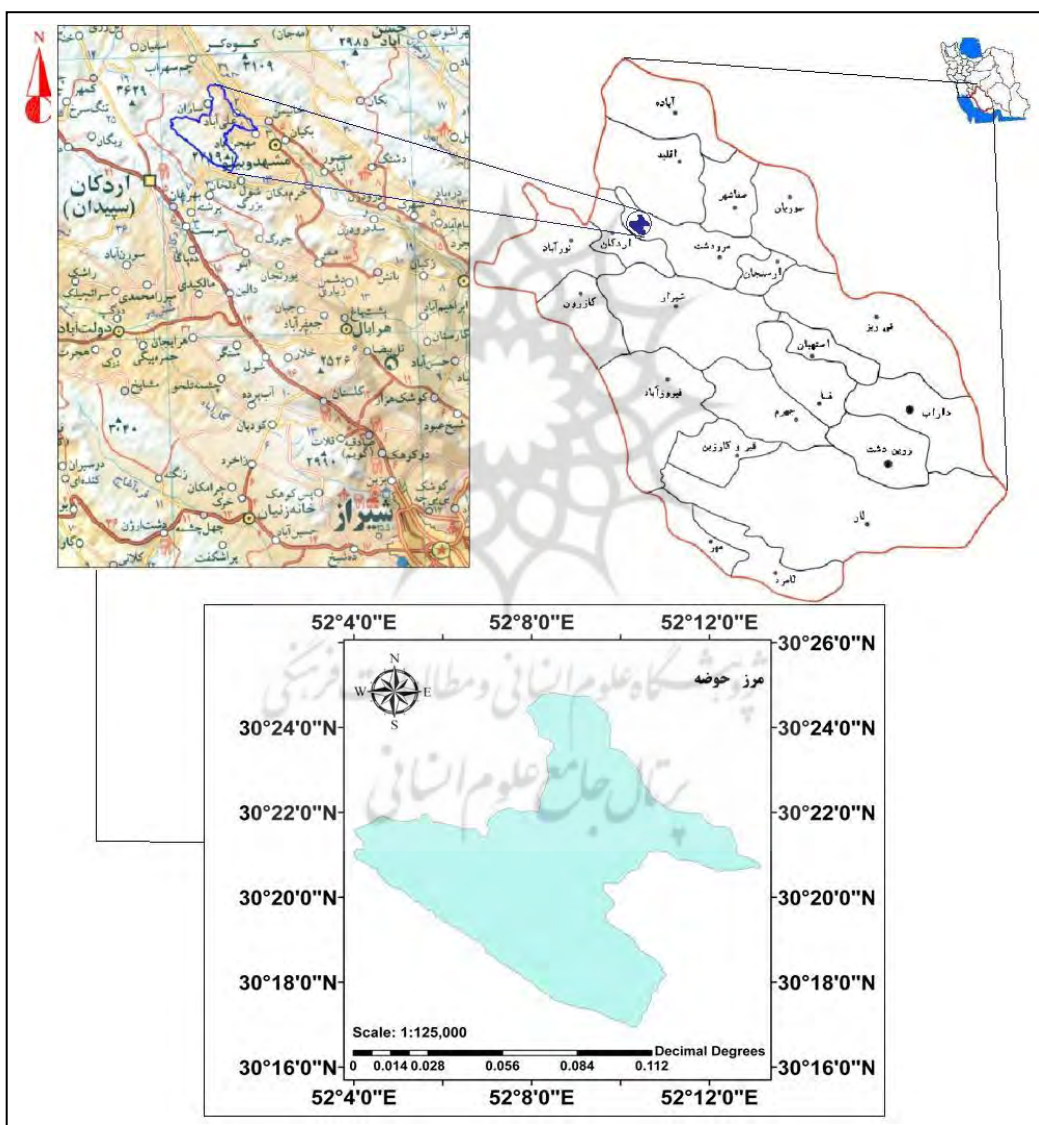
4 Russell et. al.

5 Goodness Of Fit

6 Root Mean Square Error

۲. منطقه مورد مطالعه

منطقه مورد مطالعه در این تحقیق با مساحت $81/7 \text{ km}^2$ ، تحت عنوان حوزه آبخیز بهشت گمشده (تنگ بستانک) در حدود ۸۰ کیلومتری شمال غرب شهرستان شیراز و در موقعیت جغرافیایی $30^{\circ} 52' 0'' \text{ N}$ تا $30^{\circ} 52' 0'' \text{ S}$ و $52^{\circ} 13' 0'' \text{ E}$ تا $52^{\circ} 16' 0'' \text{ E}$ شمالي و شرقی واقع شده است. ميانگين بارش سالانه اين حوزه ۶۰۹ ميلی متر می باشد. اقلیم این منطقه مدیترانه‌ای سرد (بر اساس اقلیم‌نماي دومارتون) و سازنده‌اي اين حوزه آسماري، كشكان، بختيارى، رازك و پابده‌گورپي می باشند. شکل ۱ موقعیت و راه‌های دسترسی به اين منطقه را نشان می دهد.

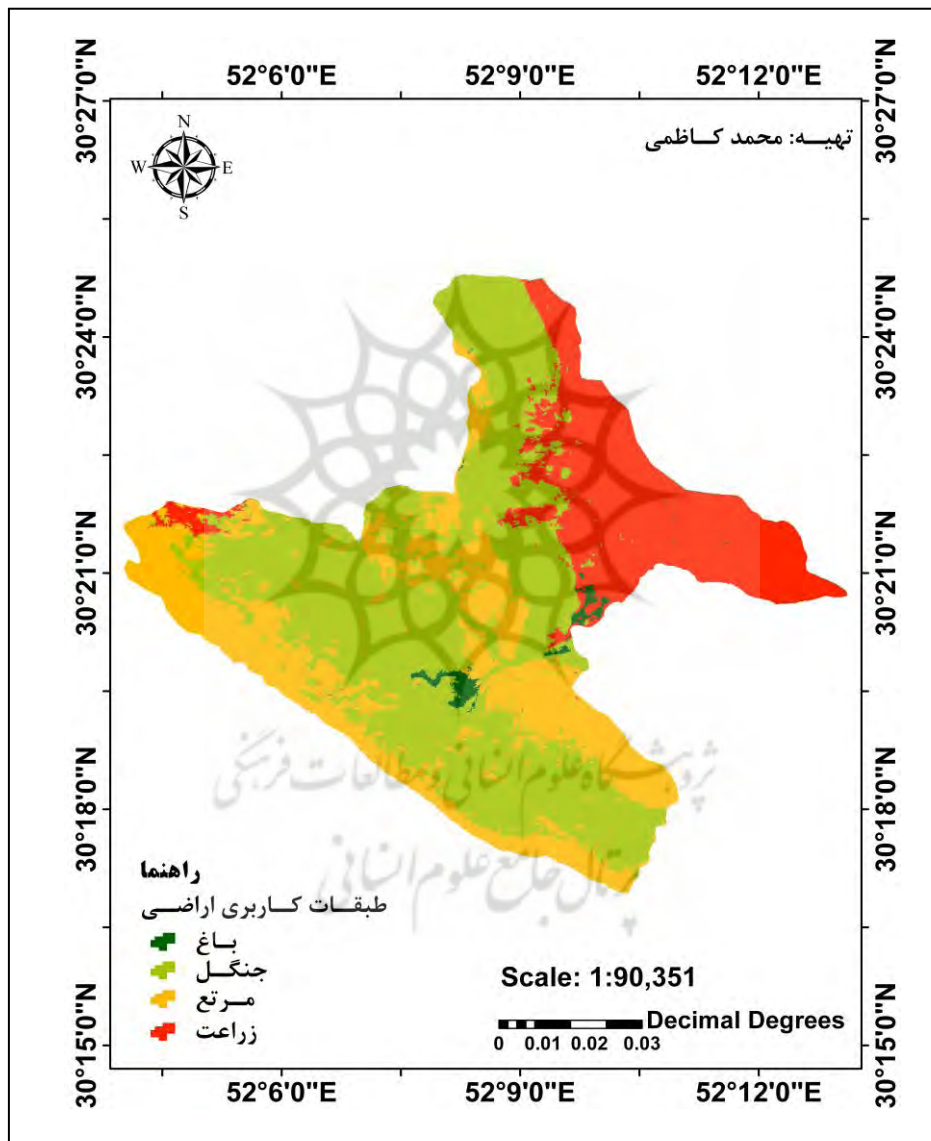


شکل ۱ موقعیت محدوده مورد مطالعه و راه‌های دسترسی به آن

۳. مواد و روش‌ها

۱. ۳. نمونه‌برداری

در این مطالعه نقشه کاربری‌های اراضی تحت کاربری‌های زراعی، جنگل، باغات و مراتع به‌ترتیب با مساحت‌های ۱۸۳۲/۶۱، ۴۶۷۶/۷۵، ۲۸۹/۹۵ و ۱۳۷۰/۶۸ هکتار به عنوان واحدهای مولّد رسوب و مطابق با روش الگوریتم حداقل تشابه (ML) با تصویر ماهواره لندست ۸ سنجنده OLI (تیرماه ۹۴) تهیّه شد.



شکل ۲ نقشه واحدهای کاربری اراضی به عنوان منابع مختلف تولید کننده رسوب

در این مطالعه تعداد ۱۹ عنصر شامل ۱۵ عنصر ژئوشیمیایی و ۲ عنصر آلی و ۲ نسبت ایزوتوبی استفاده شد. عناصر ژئوشیمیایی شامل باریم، کادمیوم، کروم، مس، لیتیم، منگنز، نبودیوم، نیکل، فسفر، سیلیکون، استرانسیوم، تیتانیوم، وانادیوم، زینک و دو نسبت ایزوتوبی شامل استرانسیوم ۸۷/ استرانسیوم ۸۶، نبودیمیوم ۱۴۴/ نبودیمیوم ۱۴۳ و ۲ ماده آلی نیتروژن و کربن بودند.

انتخاب ترکیب بهینه ردیاب‌ها

برای تعیین ترکیب ردیاب‌های منشأیاب از یک روش آماری دو مرحله‌ای استفاده شد. در مرحله اول در صورت عدم تبعیت از توزیع نرمال، از آزمون غیر پارامتری آزمون H₀ یا آزمون کروسکال_والیس استفاده گردید (پلازان و همکاران، ۲۰۱۵؛ ۲۰۷۳). در مرحله دوم تعیینتابع تحلیل تشخیص و ضرائب آن برای کاهش خصوصیات انتخابی اولیه ردیاب‌ها به طوری که دارای حداقل همبستگی و حداقل توان تفکیک منابع رسوب باشند به کار گرفته شده است. بعد از محاسبه توابع تشخیص سطح معنی‌داری آماری آن‌ها با معیارهای Wilk λ و مربع فاصله ماهalanobis صورت گرفت. برای نشان دادن توان جداسازی یا طبقه‌بندی تحلیل تشخیص، معنی‌داری توابع، اختلاف گروه‌ها و ماتریس طبقه‌بندی بررسی شده است. درصد طبقه‌بندی صحیح مهمترین معیار بررسی توان طبقه‌بندی تحلیل تشخیص می‌باشد که برای تعیین آن از ماتریس طبقه‌بندی استفاده شده است. در ضمن به منظور ارزیابی نتایج تحلیل تشخیص از روش ارزیابی متقابل استفاده به عمل آمده است. ترکیب مناسب به دست آمده از ردیاب‌ها در این مرحله برای تعیین سهم منابع رسوب در مرحله بعد استفاده می‌شود (والینگ و همکاران، ۲۰۰۸؛ ۲۷۹). یکی از پیشفرض‌های روش تحلیل تشخیص، نبود همخطی چندگانه قوی بین متغیرها می‌باشد. برای تشخیص همخطی چندگانه از عدد تحمل و عکس آن (عامل تورم واریانس) استفاده شده است (عباسی و همکاران، ۱۳۸۹؛ ۳۷). عدد تحمل برابر یا کوچکتر از ۰/۱ و عامل تورم واریانس برابر یا بزرگتر از ۱۰ بیانگر همخطی قوی بین متغیرهای است و برای مقابله با مشکلات همخطی چندگانه قوی، ترکیب‌هایی از عناصر طوری انتخاب شدند که کمترین همخطی در بین آن‌ها (عامل تورم واریانس حداکثر ۱۰) وجود داشته باشد.

۲. مدل‌های ترکیبی و کمی

تعیین سهم منابع رسوب بر اساس مقایسه خصوصیات نمونه‌های رسوب و منابع رسوب با استفاده از روش‌های کمی با به عبارتی مدل‌های چندمتغیره ترکیبی صورت گرفت. برای حل این مدل‌ها برنامه‌نویسی خطی برای حل و بهینه کردن مقادیر سهم‌نسبی استفاده می‌شود (حددادچی و همکاران، ۲۰۱۳؛ ۵۶۹، والینگ و

همکاران، ۲۰۰۸؛ ۲۸۰). بر همین اساس، رابطه ترکیبی برای هر یک از ردیاب‌ها به صورت رابطه (۱) بیان می‌شود:

$$C_i = \sum_{j=1}^n a_{ij} P_j \quad \text{رابطه (۱)}$$

که در آن C_i برابر با مقدار برآورده ردیاب λ_i برای نمونه‌های رسوب ($m, \dots, 2, 1$) و a_{ij} مقدار میانگین ردیاب λ_i در واحد کاربری اراضی $\lambda_m, \dots, \lambda_2, \lambda_1$ و P_j میانگین مشارکت نسبی واحد کاربری اراضی λ_m (که نامعلوم بوده و به وسیله مدل برآورده می‌شود)، n تعداد واحدهای کاربری اراضی و m تعداد ردیاب‌های انتخاب شده (ترکیب بهینه) می‌باشد. از آن جایی که فرض می‌شود ردیاب‌ها و ویژگی‌های آنان در نمونه‌های رسوب کاملاً وابسته به مواد منبع واحدها می‌باشند و این ردیاب‌ها تنها از این واحدها ناشی می‌شوند، بنابراین نتایج حاصل، مشروط به دو محدودیت (P_j) زیر می‌باشند:

$$0 \leq P_j \leq 1 \quad \text{رابطه (۲)}$$

$$\sum_{j=1}^n P_j = 1 \quad \text{رابطه (۳)}$$

به این علت که در چنین مدل‌هایی، رابطه (۱) برای تمام ردیاب‌ها تکرار می‌شود، بنابراین تعداد معادلات بیشتری نسبت به متغیرهای مجھول وجود خواهد داشت. برای حل این معادلات از روش بهینه‌سازی تابع هدف و تکرار عملیات استفاده می‌شود که در این پژوهش نیز از کمینه‌سازی مجموع مربعات باقیمانده با روش لوکال (Local) به عنوان تابع هدف استفاده شد. قبل از تعیین سهم باید اصلاحاتی از جمله ضریب وزنی ویژه هریک از ردیاب‌ها (w_i) که هریک از خصوصیات منشأیاب را با چند تکرار در آزمایشگاه اندازه‌گیری کرده و با محاسبه عکس ریشه دوم واریانس داده‌های استاندارد شده به دست می‌آید، را محاسبه کرد و نیز ضریب کربن آلی (O_i) (برای برطرف کردن مسئله غنی شدن یا تهی شدن رسوب) که با تقسیم میزان کربن آلی رسوب به متوسط میزان کربن آلی هریک از منابع رسوب بدست می‌آید را محاسبه کرد و سپس اصلاحات را به مدل چندمتغیره ترکیبی وارد کرد. همچنین برای تعیین ضریب تصحیح اندازه ذرات (Z_i) با توجه به طبیعت انتخابی فرآیندهای فرسایش و انتقال رسوب باعث غنی شدن یا تهی شدن رسوب از نظر بعضی از اندازه‌ها می‌شود. در اثر این فرآیند، توزیع اندازه ذرات نمونه‌های رسوب و خاک منشأ متفاوت خواهد بود؛ بنابراین مقایسه بین خصوصیات خاک منابع رسوب و نمونه‌های رسوب که از نظر اندازه ذرات اختلاف دارند، صحیح نخواهد بود. جهت رفع این عیب و فراهم آوردن امکان مقایسه مستقیم بین نمونه‌های رسوب و نمونه‌های خاک باید از روش‌های اصلاحی استفاده شود. در این تحقیق با این فرض که خصوصیات منشأیاب به یک اندازه تحت تأثیر فرآیند غنی شدن یا تهی شدن قرار می‌گیرند و به دلیل نقش زیاد پارامتر سطح ویژه در میزان خصوصیات منشأیاب (ردیاب‌ها) و انعکاس ترکیب اندازه ذرات، از نسبت

سطح ویژه هر یک از نمونه‌های رسوب به متوسط سطح ویژه نمونه‌های خاک هر یک از منابع رسوب برای اصلاح خصوصیات منشأیاب منابع رسوب استفاده شد. با حل مدل‌های زیر سهم تمام واحدهای کاربری- اراضی برای هر نمونه رسوب به صورت جداگانه بدست آمد که در نهایت با میانگین‌گیری از سهم واحدها، مقدار متوسط سهم هر واحد کاربری اراضی در تولید رسوب تعیین شد.

$$R = \sum_{i=1}^n [\sum_{j=1}^m S_{ij} X_j - C_i]^2 \quad \text{رابطه (۴): (حدادچی و همکاران، ۱۳۲۰؛ ۵۷۰)}$$

$$R = \sqrt{\frac{\sum_{i=1}^n (C_i - \sum_{j=1}^m X_j S_{ji})^2}{n}} \quad \text{رابطه (۵)}$$

$$R = \left(\frac{1}{n} \right) \sum_{i=1}^n \left| C_i - \sum_{j=1}^m X_j S_{ji} \right| / \sqrt{\sum_{j=1}^m X_j^2 VAR_{ij}} \quad \text{رابطه (۶)}$$

$$R = \sum_{i=1}^n \left\{ \frac{[C_i - (\sum_{j=1}^m X_j S_{ij} Z_j O_j)]}{C_i} \right\}^2 W_i \quad \text{رابطه (۷): (پاتریک، ۱۵۱۰؛ ۲۱۲۱)}$$

$$R = \sum_{i=1}^n \left\{ \frac{[C_i - (\sum_{j=1}^m X_j S_{ij} Z_j O_j SV_{ji})]}{C_i} \right\}^2 W_i \quad \text{رابطه (۸): (کالینز و همکاران، ۱۰۲۰؛ ۲۵۵)}$$

در روابط بالا VAR_{ij} واریانس ویژگی ردیاب Z_m منبع رسوب A_m ، R مجموع مربعات باقیمانده، C_i میزان اندازه‌گیری شده ویژگی (ردیاب) A_m در نمونه رسوب، W_i ضریب وزنی ویژه ردیاب A_m ، Z_j ضریب اصلاحی اندازه ذرات برای فرسایش (منبع) Z_m ، O_j ضریب تصحیح ماده آلی برای فرسایش (منبع) Z_m ، S_{ij} میزان ویژگی (ردیاب) A_m در منبع Z_m ، m تعداد منابع، n تعداد ردیاب‌ها، m_j تعداد نمونه‌ها در هر منبع، X_j سهم منبع در فرسایش و تولید رسوب، SV_{ji} وزن درون منبع Z_j برای مقادیر مختلف ردیاب‌های منشأیاب i . برای تست دقت بهینه‌سازی مقدار R (مجموع مربعات باقیمانده) از روش پیشنهادی کالینز و همکاران (۱۲۰۲) مطابق با رابطه ۹ و برآورد خطای نسبی مدل مطابق با رابطه ۱۰ استفاده شد.

$$GOF = 1 - \frac{1}{n} \sum_{i=1}^n \frac{(C_i - \sum_{j=1}^m S_{ij} X_j)}{C_i} \quad \text{رابطه (۹)}$$

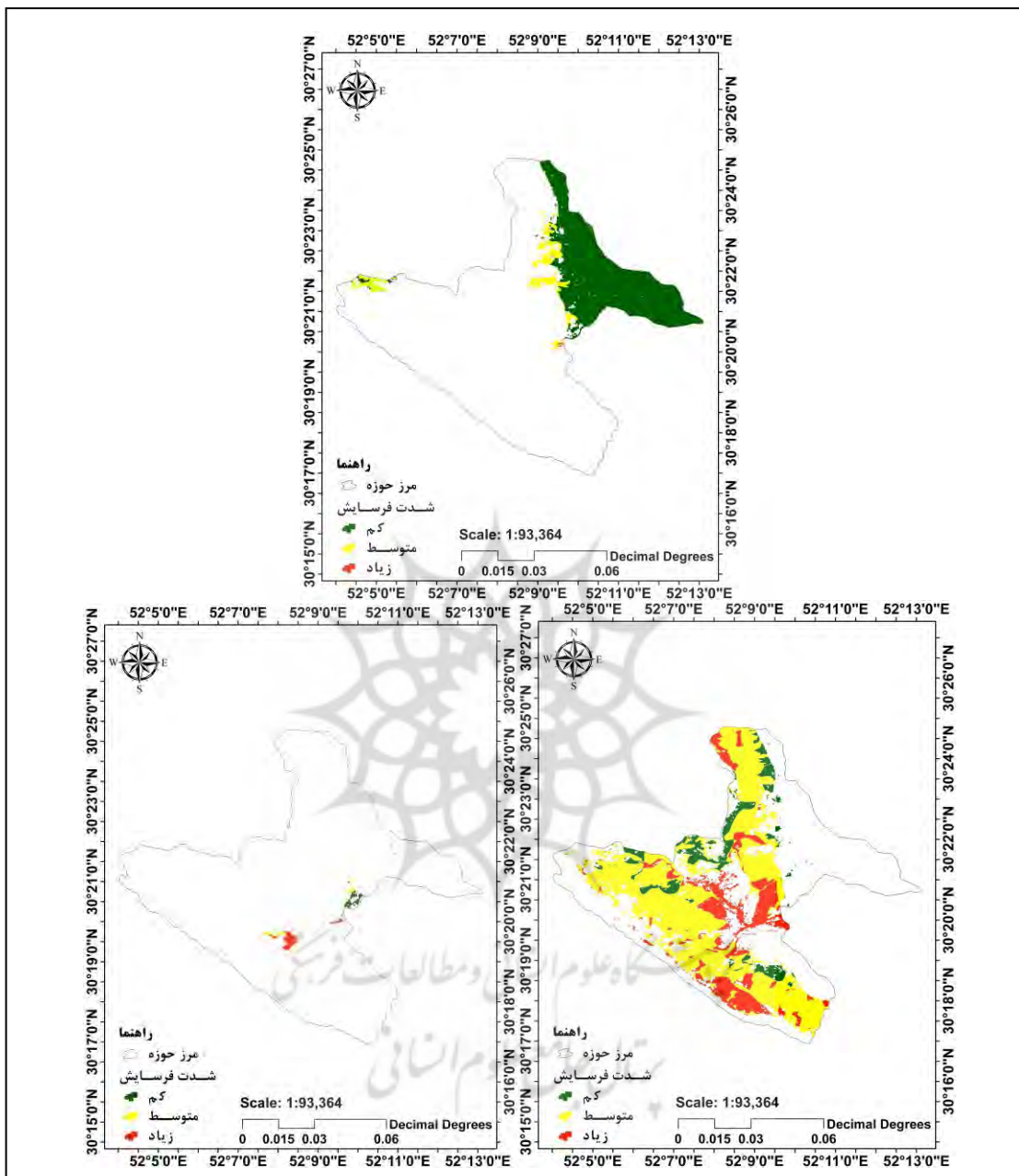
$$RMSE = \sqrt{\frac{\sum_{i=1}^n (O_i - P_i)^2}{\sum_{i=1}^n (O_i - O_{mean})^2}} \quad \text{رابطه (۱۰): (درپریش، ۹۴۱۳: ۵۲)}$$

در این روابط، n تعداد خصوصیات ردیاب، C_i مقدار اندازه‌گیری شده ردیاب A_m در نمونه رسوب، S_{ij} مقدار میانگین ردیاب A_m در کاربری Z_m ، X_j سهم کاربری Z_m ، O_i میانگین مقادیر مشاهده شده، O_{mean} مقدار

مشاهده شده و p_i مقدار برآورده حاصل از مدل‌های میزان شاخص GOF بیشتر باشد و مقدار RMSE کمتر باشد، دقّت مدل بیشتر است.

اندازه‌گیری‌های صحرایی

به منظور ارزیابی نتایج به دست آمده از کاربرد مدل چندمتغیره ترکیبی لازم بود تا مشاهدات صحرایی و اندازه‌گیری‌های مستقیم صحرایی نیز صورت پذیرد. بر همین اساس، با استفاده از روش دفتر مدیریت اراضی (BLM) اقدام به تهیه واحدهای کاری نیمه‌همگن شد. با بررسی‌های صحرایی و اصلاح و به‌روز رسانی کاربری‌ها و واحدهای نیمه‌همگن، واحدهای همگن به دست آمدند. در راستای افزایش دقّت نقشه ایجاد شده از روش ارائه شده توسط صادقی (۲۰۰۵) استفاده شد به‌طوری که طبق امتیازات حاصل از روش BLM طبقه-فرسایشی برای هر واحد از مقاوم به فرسایش (امتیاز ۰ تا ۲۰)، فرسایش خیلی شدید (امتیاز ۸۰ تا ۱۰۰) طبقه-بندی شد و به ترتیب براساس شدت فرسایش موجود در واحد کاری حروف A تا E اختصاص داده شد که این حروف شدت فرسایش در حالت کلی را برای واحد مربوطه بیان می‌کند. برای دقیق‌تر شدن نتایج، سه پدیده فرسایشی سطحی (S)، شیاری (R) و آبکندی (G) مد نظر قرار گرفتند. زیرنویس اول یکی از طبقات ۱ تا ۵ را شامل می‌شود و بیان‌گر شدت فرسایش واقع بر این پدیده‌ها می‌باشد. زیرنویس دوم حاصل سطح پوشش هر پدیده بوده و یکی از کدهای ۱ تا ۴ را به‌خود اختصاص داده و به ترتیب برای ۰ تا ۲۵، ۲۵ تا ۵۰، ۵۰ تا ۷۵ و سطوح پوششی ۷۵ تا ۱۰۰ درصد استفاده شد. به‌طور کلی یک واحد کاری با کدی مثل BS23R21G42 نشان داده می‌شود. از سویی، برای اندازه‌گیری‌های صحرایی نیز با توجه به واحدهای کاری به دست آمده اقدام به نصب پلات‌های سطحی در هر واحد کاری با سه تکرار و به ابعاد یک متر و مساحت یک مترمربع شد. در مورد شیارها و آبکندها از روش صادقی (۱۳۸۸) استفاده شد. در مورد شیارها نیز در هر واحد کاری با سه تکرار شیارهایی با طول بیش از ۱۰ متر انتخاب و مقطع عرضی آن‌ها در در سه مقطع ۲۵، ۵۰ و ۷۵ درصد از طول آن‌ها، اندازه‌گیری شد. در مورد آبکندها از پیکه‌های چوبی استفاده شد تا دقّت مورد نظر تأمین گردد. در طول دوره یک ساله، دوبار اقدام به اندازه‌گیری رسوب شیارها، آبکندها شد. همچنین در مورد پلات‌های سطحی نیز رواناب و رسوب حاصل از بارندگی‌ها به صورت تجمعی در چند نوبت مورد اندازه‌گیری قرار گرفت (شکل ۳ نقشه شدت فرسایش در واحدهای کاربری اراضی را نشان می‌دهد).



شکل ۳ شدت فرسایش با استفاده از مدل BLM روی کاربری‌های (از راست به چپ و از بالا به پایین) زراعت، مرتع، باغ و جنگل

۴. بحث و نتایج

نتایج آزمون آماری کروسکال والیس در بررسی توان ردیاب‌ها در جداسازی واحدهای کاری شامل اراضی مرتعی، اراضی جنگلی، اراضی زراعی و باغات در منطقه تنگ بستانک در جدول ۱ ارائه شده است.

جدول ۱ نتایج آزمون کراسکال- والیس جهت تعیین خصوصیت منشأیاب مناسب برای تفکیک منابع رسوب

| منشأیاب | آماره H | سطح معنی‌داری |
|--------------------------------|---------|---------------|
| باریم | ۶/۳۸۸ | ۰/۲۸۱ |
| کادمیوم | ۴/۶۸۳ | ۰/۵۳۳ |
| کبات | ۷/۲۵۹ | ۰/۲۹۸ |
| کروم | ۸/۹۷۴ | ۰/۱۷۵ |
| مس | ۱۳/۸۷۳ | ۰/۰۳۴ |
| لیتیم | ۵/۴۴۲ | ۰/۴۸۸ |
| منگنز | ۵/۸۵۵ | ۰/۴۴۰ |
| نئودیمیوم | ۹/۹۴۵ | ۰/۱۲۷ |
| نیکل | ۱۱/۷۳۶ | ۰/۰۶۸ |
| فسفر | ۱/۵۹۳ | ۰/۹۴۳ |
| سیلیکون | ۱۴/۶۱۷ | ۰/۰۲۸ |
| استرانسیوم | ۱۲/۴۴۵ | ۰/۰۴۴ |
| تیتانیوم | ۱۵/۱۰۹ | ۰/۰۲۲ |
| وانادیوم | ۷/۱۴۴ | ۰/۳۰۸ |
| زینک | ۴/۰۷۴ | ۰/۶۶۷ |
| نیتروژن | ۱۵/۷۸۲ | ۰/۰۱۵ |
| کربن | ۱۶/۱۷۸ | ۰/۰۱۳ |
| استرانسیوم /۸۷ / استرانسیوم ۸۶ | ۳/۱ | ۰/۷۹۶ |
| نئودیمیوم /۱۴۴ / نئودیمیوم ۱۴۳ | ۵/۹۲۵ | ۰/۴۳۲ |

ازنظر این آزمون اختلاف میانگین‌های هریک از عناصر در واحدهای کاربری‌اراضی به غیر از شش عنصر کربن، نیتروژن، مس، استرانسیوم، تیتانیوم و سیلیکون درسطح کمتر از ۵ درصد معنی‌دار نیست، در واقع تمام عناصر به غیر از شش عنصر یاد شده، دارای قدرت تفکیک و جداسازی واحدهای مذکور نیستند. نتایج تحلیل تشخیص (DFA) و معنی‌داری آماری نشان داد، ترکیب بهینهٔ خصوصیات منشأیاب باید طوری انتخاب شود که علاوه بر داشتن کمترین هم‌خطی چندگانه، بیشترین توان تفکیک منابع را داشته باشد تا باعث مشکلاتی درتفسیر اهمیت هر یک از متغیرها و ناپایداری نتایج طبقه‌بندی تحلیل نشود. معیار کمترین هم خطی برای عناصر ترکیب‌ها، داشتن عامل تورم واریانس حداقل ۱۰ است. ضرایب همبستگی بیشتر از ۹۵٪ با حذف یکی از دو ماتریس همبستگی اصلاح می‌شود. جدول (۲) مراحل مختلف اضافه شدن عناصر ردیاب در توابع تشخیص برای واحدهای کاربری اراضی به روش گام به گام و تأثیر آنها بر توان جداسازی تحلیل تشخیص را نشان می‌دهد. با اضافه شدن هر عنصر مقدار مرتب فاصله ماهالانویس افزایش و میزان Wilk's lambda کاهش می‌یابد. چهار تابع بر اساس عناصر یاد شده در واحدهای کاربری اراضی استخراج شده‌اند و جدول (۳) معنی‌داری توابع را به وسیله آماره مرتب کای نشان می‌دهند که توابع اول در واحدهای تفکیک منابع رسوب ۶۵٪ را به خود اختصاص داده‌اند. توابع

اول با بیشترین همبستگی کانونی، بیشترین تغییرات و اختلاف‌ها را در گروه‌ها توصیف می‌کنند. درصد طبقه‌بندی صحیح در تفکیک منابع رسوب برای واحدهای کاربری اراضی ۷۵٪ بود.

جدول ۲ مراحل اضافه شدن عناصر ردیاب در تابع تشخیص (کاربری اراضی)

| گام | خصوصیات مشایاب وارد شده | حداقل مریع فاصله ماهالانویس | Wilks' Lambda | عدد تحمل (Tolerance) | عامل تورم واریانس (VIF) | وزن ردیاب مشایاب در منع |
|-----|-------------------------|-----------------------------|---------------|---|-----------------------------|-------------------------|
| ۱ | کربن | ۰/۰۰۴ | ۰/۶۴۴ | ۱ (کربن) | ۱ | ۱/۸ |
| ۲ | مس | ۰/۳۹۱ | ۰/۳۵۱ | ۰/۰۷۸۸ (کربن) ۰/۰۷۸۸ (مس) | ۱/۲۶ ۱/۲۶ | ۱/۵ |
| ۳ | سیلیکون | ۰/۷۲۴ | ۰/۲۴۴ | ۰/۰۷۶۶ (کربن) ۰/۰۷۸۸ (مس) ۰/۰۹۶۷ (سیلیکون) | ۱/۲۳ ۱/۲۶ ۱/۰۳ | ۱/۳ |
| ۴ | تیتانیوم | ۱/۲۳ | ۰/۱۶۹ | ۰/۰۸۳۴ (کربن) ۰/۰۶۷۷ (مس) ۰/۰۸۸۸ (سیلیکون) ۰/۰۶۶۶ (تیتانیوم) | ۱/۳۶ ۱/۴۷ ۱/۱۲ ۱/۵ | ۱/۵ |

جدول ۳ مشخصات توابع تشخیص حاصل برای تفکیک منابع رسوب (کاربری اراضی)

| تابع | مقدار ویژه | درصد واریانس | درصد تجمعی واریانس | همبستگی کانونی | Wilks' Lambda | آماره مریع کای | معنی‌داری |
|------|------------|--------------|--------------------|----------------|---------------|----------------|-----------|
| ۱ | ۱/۵۷۷ | ۶۵/۳ | ۶۵/۳ | ۰/۷۸۲ | ۰/۱۶۹ | ۶۴/۸۲۶ | ۰/۰۰۰ |
| ۲ | ۰/۷۰۷ | ۲۲ | ۸۷/۳ | ۰/۶۴۴ | ۰/۴۳۶ | ۳۰/۲۸ | ۰/۰۱۱ |
| ۳ | ۰/۲۹۵ | ۱۱/۳ | ۹۸/۶ | ۰/۴۷۷ | ۰/۷۴۵ | ۱۰/۷۵۸ | ۰/۰۲۱۶ |
| ۴ | ۰/۰۳۷ | ۱/۴ | ۱۰۰ | ۰/۱۸۸ | ۰/۹۶۵ | ۱/۳۱۴ | ۰/۰۷۲۶ |

همان‌گونه که مشاهده شد تعدادی از عناصر در مرحله اول (عنصر) توان تفکیک منابع را نشان دادند، از آن جمله نیتروژن و استرانسیوم بودند که این عناصر در مرحله دوم و در تابع تشخیص حذف شدند و در جمع ترکیب بهینه قرار نگرفتند. از مجموع ۱۹ عنصر و نسبت ایزوتوپی، تنها ۴ عنصر مس، کربن، سیلیکون و تیتانیوم (عناصر نادر) قادر به جداسازی منابع رسوب بودند. بدین ترتیب نتایج تحلیل تشخیص نشان داد ۴ ردیاب آلی و ژئوشیمیابی قادر به تفکیک منابع رسوب در حوزه آبخیز تنگ بستانک بودند. ضرائب تصحیح مواد آلی در منابع رسوب و ضرائب وزنی-ویژه عناصر انتخابی و ضریب تصحیح سطح ویژه ذرات در جدول ۴ و ۵ ارائه شده است. با به حداقل رساندن معادلات ۴، ۵، ۶، ۷ و ۸ برای هر یک از نمونه‌های رسوب و متوسط‌گیری از مقادیر حاصل سهم هر یک از منابع جدول ۶ به دست آمده است. همان‌گونه که مشاهده می‌شود در تمامی این جداول سهم کل بر حسب درصد در واحدهای کاربری اراضی زراعت کمترین و مراعط بیشترین سهم را در تولید رسوب دارند.

جدول ۴ ضریب تصحیح کربن آلی (O_j) و ضریب تصحیح سطح ویژه ذرات (Z_j)

| منابع تولید رسوب | ضریب تصحیح سطح ویژه ذرات | ضریب تصحیح کربن آلی |
|------------------|--------------------------|---------------------|
| باغات | ۰/۹۲۵ | ۰/۱۰۹ |
| کشاورزی | ۰/۹۵۵ | ۰/۶۸ |
| جنگل ضعیف | ۰/۱۱ | ۰/۱۱۶ |
| مرتع | ۰/۸۱۸ | ۰/۴۶ |

جدول ۵ ضرائب وزنی ویژه عناصر (W_i) کاربری اراضی

| ترکیب بهینه خصوصیات منشأیاب | ضریب وزنی ویژه |
|-----------------------------|----------------|
| کربن | ۰/۳۵۷ |
| مس | ۰/۲۰۸ |
| سیلیکون | ۰/۱۸۲ |
| تیتانیوم | ۰/۱۷۷ |

جدول ۶ سهم نسبی کاربری اراضی در تولید رسوب بر حسب درصد

| نوع کاربری اراضی | مدل کالینز (Collins) |
|------------------|---|
| زراعت آبی | ۶/۷۷ |
| اراضی جنگلی | ۲۰/۹۲ |
| اراضی باخی | ۲۴/۳۸ |
| اراضی مرتعی | ۴۷/۹۳ |
| نوع کاربری اراضی | مدل کالینز اصلاح شده (Modified Collins) |
| زراعت آبی | ۶/۳۲ |
| اراضی جنگلی | ۹/۳۱ |
| اراضی باخی | ۲۷/۳۳ |
| اراضی مرتعی | ۵۷/۰۴ |
| نوع کاربری اراضی | مدل لاندور (Landwehr) |
| زراعت آبی | ۰/۹۲ |
| اراضی جنگلی | ۱۸/۰۹ |
| اراضی باخی | ۱۹/۰۲ |
| اراضی مرتعی | ۶۰/۹۶ |
| نوع کاربری اراضی | مدل موتا (Motha) |
| زراعت آبی | ۹/۵۸۲ |
| اراضی جنگلی | ۲۲/۹۷۵ |
| اراضی باخی | ۱۷/۸۰۵ |
| اراضی مرتعی | ۴۹/۶۳۶ |
| نوع کاربری اراضی | مدل اسلاتری (Slattery) |
| زراعت آبی | ۵/۶۸ |
| اراضی جنگلی | ۲۳/۸۲ |
| اراضی باخی | ۱۹/۶۴ |
| اراضی مرتعی | ۵۰/۸۷ |

همچنین جدول ۷ نتایج حاصل از تست دقّت بهینه‌سازی را با شاخص GOF و RMSE نشان می‌دهد. همان‌طور که از این جدول مشخص است مدل کالینز اصلاح شده بیشترین مقدار GOF و کمترین مقدار RMSE را به خود اختصاص داده است. بسیاری از محققان از جمله حدادچی و همکاران (۲۰۱۵)، کالینز و همکاران (۲۰۱۰ و ۲۰۱۲) وجود عامل SV_{ji} را عامل بهتر شدن این مدل نسبت به مدل کلاسیک و قبلی آن عنوان کرده‌اند و همان‌گونه که مشاهده می‌شود شاخص GOF و RMSE نیز این مهم را نشان می‌دهد. مطابق با این روش بهترین مدل‌ها برای بیان سهم منابع رسوب مدل‌های کالینز اصلاح شده و بر اساس مقادیر اندازه‌گیری شده مدل موتا (Motha) هستند. جدول ۶ نتایج سهم منابع مختلف رسوب را برای واحدهای کاربری اراضی نشان می‌دهد. در تحقیقات داخلی بیشتر مدل کالینز کلاسیک و کمتر مدل کالینز اصلاح شده جهت محاسبه سهم منابع مختلف رسوب استفاده شده و بهندرت به کاربرد مدل‌های دیگر پرداخته شده است در حالی که نتایج نشان داد مدلی همچون موتا (Motha) نتایج نزدیک و قابل قبولی نسبت به مقادیر اندازه‌گیری شده و نسبت به مدل پذیرفته شده کالینز اصلاح شده نشان می‌دهد. مدل کلاسیک کالینز که در بسیاری از تحقیقات داخلی از ان استفاده شده است دقّت کمتری در مقایسه با نسخه اصلاح شده آن از خود نشان داده است. در تمامی مدل‌های ترکیبی بالا اتفاق نظر بر کمترین سهم تولید رسوب و فرسایش در کاربری اراضی کشاورزی و بیشترین سهم فرسایش و رسوب توسط مراعط می‌باشد.

جدول ۷ نتایج حاصل از GOF و RMSE برای مقادیر بهینه‌سازی شده (Local)

| نام مدل | GOF | RMSE |
|------------|------|------|
| (Motha) | <۰ | ۵/۳۹ |
| (Slattery) | <۰ | ۵/۶۸ |
| (Landwehr) | ۲۳/۷ | ۴/۵۵ |
| (Collins) | ۹۹/۶ | ۵/۵۳ |
| (MCollins) | ۹۹/۹ | ۲/۰۷ |

نتایج داده‌های صحرایی و اندازه‌گیری میدانی برای انواع کاربری و در کدواحدهای مختلف و برای تکرارها و فرسایش‌های سطحی، شیاری و خندقی در جدول ۹ آورده شده است. با توجه به نتایج اندازه‌گیری میدانی و سطح هر کاربری میزان و سهم مشارکت هریک محاسبه و با توجه به درصد مساحت هر کاربری اراضی از سطح کل حوزه آبخیز اهمیت نسبی آن‌ها محاسبه شده است. جدول ۸ بیانگر این مهم می‌باشد.

جدول ۸ سهم و اهمیت نسبی واحدهای کاربری اراضی حاصل از اندازه‌گیری صحرایی

| نام کاربری اراضی | درصد مساحت | درصد مساحت | اهمیت نسبی |
|------------------|------------|------------|------------|
| زراعت | ۲۲/۴ | ۰/۷۱ | ۰/۰۳۱ |
| باغات | ۳/۵۴ | ۲/۸۳ | ۰/۷۹۹ |
| جنگل | ۵۷/۱۸ | ۳۱/۵۵ | ۰/۰۵۱ |
| مرتع | ۱۶/۷۵ | ۶۴/۹ | ۳/۸۷ |

جدول ۹ نتایج نسبی تولید رسوب حاصل از انواع فرسایش (تن در هکتار)

| کاربری اراضی | میانگین سطحی فرسایش | میانگین شیاری فرسایش | میانگین خندقی فرسایش | کد واحد کاری | مجموع میانگین‌ها |
|--------------|---------------------|----------------------|----------------------|---|------------------|
| زراعت | ۰/۰۷۵ | ۰/۰۹ | ۰/۰۷ | B S ₂₃ R ₁₁ G ₂₁ C S ₂₂ R ₂₂ G ₂₁ | ۰/۳۱۷ |
| جنگل | ۲/۱۵ | ۲/۰۹ | ۰/۲۶۵ | B S ₂₂ R ₂₁ G ₂₂ C S ₂₃ R ₂₂ G ₃₁ D S ₂₂ R ₂₂ G ₃₁ | ۵/۰۱۹ |
| باغ | ۳/۳۲ | ۳/۳۵ | - | B S ₂₃ R ₂₁ G ₁₁ C S ₂₃ R ₃₂ G ₃₂ D S ₂₂ R ₃₂ G ₄₂ | ۷/۹۹۳ |
| مرتع | ۱۰/۰۸ | ۱۲/۰۳ | ۰/۶۵ | B S ₃₃ R ₄₂ G ₂₁ C S ₃₄ R ₄₃ G ₃₂ D S ₃₄ R ₄₃ G ₃₂ | ۳۸/۷۳ |
| | ۱۸/۶۷ | ۲۶/۱۷ | ۰/۹۲۵ | | |
| | ۱۹/۱۲ | ۲۷/۶۶ | ۰/۹۵۵ | | |

همچنین مقدار اهمیت نسبی کاربری‌های زراعت، جنگل، باغ و مرتع بر اساس مدل کالینز اصلاح شده به ترتیب ۰/۲۸۲، ۰/۱۶۲، ۰/۷۷۲ و ۳/۴ بود. با توجه به نتایج اهمیت نسبی حاصل از اندازه‌گیری میدانی سهم منابع تولید رسوب و نتایج حاصل از گزینش بهترین مدل ترکیبی نتیجه‌گیری کرد که اراضی مرتعی و باغی بیشترین اولویت را نسبت به دیگر کاربری‌ها به خود اختصاص داده‌اند. مخصوصاً اراضی باغی که وسعت بسیار کمتری در مقایسه با اراضی مرتعی دارند و سهم بیشتری از فرسایش و رسوب را در مقایسه با کاربری مرتع روانه خروجی حوزه می‌کنند.

۵. نتیجه‌گیری

حضور عنصر کربن (C) به عنوان ردياب در تفکيک منابع رسوب (كاربرى‌های اراضى) دیده شد، که با نتایج والينگ و همكاران (۲۰۰۸)، كالينز و همكاران (۲۰۱۰)، زانگ و همكاران (۲۰۱۲)، حدادچى و همكاران (۲۰۱۳)، ونگ و همكاران (۲۰۱۴) و نصرتى و همكاران (۱۳۹۴) مبني بر حضور کربن به عنوان يك ردياب ثابت در تفکيک کاربرى‌های اراضى مطابقت مى كند. حضور عنصر کربن آلى در تمایز بین کاربرى‌های مختلف مى تواند نشان‌دهنده تأثير حاصل خيزکننده‌ها باشد. نتایج حکيم‌خانى و همكاران (۱۳۸۷) مبين نقش متماييز‌کننده عناصر نادرخاکى از جمله سيليكون، تيتانيوم و مس در تفکيک منابع رسوب مى باشد. عدم حضور عنصر نيتروژن در مرحله دوم انتخاب بهترین تركيب بهينه ردياب‌ها با استفاده از تابع تحليل تشخيص گام به گام مى تواند ناشى از هم خطى بین ردياب‌ها باشد که نتایج تحقیقات والينگ (۲۰۰۵) و نوحه‌گر و همكاران (۱۳۹۵) به اين مهم اذعان دارند. بيشترین اهميت‌نسبى مربوط به کاربرى مراعع و سپس باغات مى باشد. کاربرى زراعت به دليل قرار گرفتن در دشت بسيار مسطح (شيب بسيار کم)، کشت متناوب (برنج و گندم) و بدون آيش در منطقه دارای کمترین اهميت‌نسبى از لحاظ توليد رسوب در محدوده مطالعاتى مى باشند. شاخص اهميت‌نسبى سهم‌های فرسايشى اولويت‌بندی مديريت کاربرى اراضى را نشان مى دهد، چنان‌که مراعع بالاترین اولويت را در بحث کتrel توليد رسوب و لزوم مديريت صحيح دارند. همچنین نتایج حاصل از تحقیق حاضر حکایت از بيشترین دقت در تبیین سهم‌های فرسايش توسط مدل كالينز اصلاح شده داشت که با نتایج حدادچى و همكاران (۲۰۱۵) مبني بر انتخاب اين مدل به عنوان يك از قوى‌ترین مدل‌های ترکيبي در تعیین سهم منابع مختلف رسوب مطابقت دارد. تفاوت بین مقادير اندازه‌گيرى شده و محاسباتي مدل‌های ترکيبي (روش انگشت‌نگاری) ناشى از تلهاندازى رسوب و نسبت تحويل آن مى باشد که سبب تفاوت در مقادير اين دو روش مى شود. هرچند هر دو روش از حيث روند همديگر را تأييد مى کنند. تفاوت‌های مقداری حاصل از دو روش را مى توان به مباحثى چون نسبت تحويل رسوب كلّى و به تفکيک منابع رسوب، ذخیره، جابجايى و انتقال رسوب نسبت داد. همچنین تفاوت بین سهم‌های مشاهداتي و محاسباتي با مدل‌های کمئى را مى توان به ضعف روش‌بهينه‌سازی لوکال نسبت داد که فقط با در نظر گرفتن جواب‌های محلّى اقدام به بهينه‌سازی تابع هدف مى کند و مانند ديگر روش‌های بهينه‌سازی از جمله الگوريتم‌ژنتيك (GA) كليه جواب‌های عمومي و انتخاب بهترین جواب را مدنظر قرار نمى دهد؛ بنابراین پيشنهاد مى گردد در مطالعات منشأ‌يابي و بهينه‌سازی مدل‌های ترکيبي از ديگر روش‌های بهينه‌سازی که دقت بيشتری دارند استفاده شود. اگرچه در اين تحقیق کارآيی مدل‌های ترکيبي با روند اندازه‌گيرى صحرائي مطابقت داشت (مدل موتا با ضریب همبستگی 0.924 ، مدل اسلامتري با ضریب همبستگی 0.892 ، مدل كالينز با ضریب همبستگی 0.76 ، مدل لاندور با ضریب همبستگی 0.834 ، مدل كالينز اصلاح شده با ضریب همبستگی

۰/۵۶۳). با در نظر گرفتن دو شاخص GOF و RMSE نتایج مدل کالینز اصلاح شده با وجود ضریب همبستگی کمتر مقبول می‌باشد و نتایج سهم‌بندی مدل موتا (Motha) و یا اسلاتری (Slattery) با وجود شاخص منفی GOF غیرقابل قبول هست (هر چه مقادیر شاخص GOF به یک نزدیک‌تر باشد نتایج مدل قوی‌تر و فابل اعتماد می‌باشد)، اگرچه این مدل توانسته ضریب همبستگی بالاتری با مقادیر اندازه‌گیری شده نشان دهد. یکی از موارد ضعف مدل‌های ترکیبی در نشان دادن سهم منابع تولید رسوب عدم در نظر گرفتن مواردی همچون سطح منابع می‌باشد. برای رفع این مهم از شاخص اهمیت‌نسبی جهت مقایسه منابع مولّد رسوب و مقایسه یکسان آن‌ها استفاده می‌شود. در بیشتر تحقیقات داخلی مقایسه‌ای بین مدل‌های کمی مختلف صورت نگرفته است و یا در تحقیقات خارجی بجز چندمورد مقایسه‌ای بین نتایج این مدل‌ها انجام نشده است. در این تحقیقات جهت گزینش بهترین مدل از شاخص GOF استفاده شده و کمتر به شاخص‌های دیگر از جمله RMSE توجه شده است؛ بنابراین استفاده از این شاخص‌ها جهت تأیید نتایج و نیز مقایسه این نتایج با مقادیر اندازه‌گیری شده ضروریست.

کتابنامه

- درپریش، م. (۱۳۹۴). منشأیابی رسوبات تپه‌های ماسه‌ای به روش انگشت‌نگاری در منطقه گچین بندرعباس، پایان‌نامه کارشناسی ارشد دانشگاه زابل، دانشکده آب و خاک، گروه مرتع و آبخیزداری.
- صادقی، س.ح.ر. (۱۳۸۸). مطالعه و اندازه‌گیری فرسایش آبی، انتشارات دانشگاه تربیت مدرس.
- حکیم‌خانی، ش. (۱۳۸۹). ارزیابی اهمیت نسبی انواع فرسایش در تولید رسوب (بررسی موردنی حوزه قره‌آقاج ماکو)، مجله منابع طبیعی ایران، ۶۳(۱)، صفحات ۱۳ تا ۲۷.
- حیدری، ک.، نجفی‌نژاد، ع.، خرم‌الی، ف. و بابانژاد، م. (۱۳۹۲). تعیین سهم واحدهای کاری در تولید رسوب معلق با استفاده از روش منشأیابی رسوب (مطالعه موردنی آبخیز تول بنه، استان گلستان)، فصلنامه پژوهش‌های فرسایش محیطی، ۳(۱۱)، صفحات ۲۷ تا ۳۸.
- عباسی، م.، فیض‌نیا، س.، احمدی، ح. و کاظمی، ی. (۱۳۸۹). منشأیابی رسوبات بادی نیاتک با استفاده از ردیابی عناصر ژئوشیمیایی، فصلنامه علمی-پژوهشی خشک بوم، ۱(۱)، صفحات ۳۴ تا ۴۴.
- غلامی، ح.، طاهری‌مقدم، ا.، قیری، م. و مهدوی نجف‌آبادی، ر. (۱۳۹۴). تعیین سهم کاربری‌های اراضی در تولید رسوب تپه‌های ماسه‌ای با استفاده از روش انگشت‌نگاری (مطالعه موردنی: ارگ نگار بردسیر کرمان)، مجله پژوهش‌های فرسایش محیطی، ۲(۱۸)، صفحات ۵۴-۶۴.
- نجفی، س. و صادقی، س.ح.ر. (۱۳۹۲). تعیین سهم منابع تولید رسوب از طریق مقایسه نتایج روش‌های تهیه نقشه سیمای فرسایش، انگشت‌نگاری و اندازه‌گیری میدانی، مجله مهندسی و مدیریت آبخیز، ۵(۳)، صفحات ۱۶۵ تا ۱۷۸.

نصرتی، ک.، احمدی، ف.، نظری سامانی، ع.ا. و ثروتی، م.ر. (۱۳۹۴). تعیین نقش کاربری اراضی در تولید رسوب معلق و کف بر پایه منشأ یابی رسوب در حوزه طالقانی، مجله منابع طبیعی ایران، ۶۸ (۴)، صفحات ۷۵۱ تا ۷۶۵.

نصرتی، ک. (۱۳۹۰). منشأ یابی رسوب بر اساس برآورد عدم قطعیت، مجله پژوهش آب ایران، ۵ (۹)، صفحات ۵۱ تا ۶۰.

- Collins, A., Walling, D., Webb, L. & King, P. (2010). *Apportioning catchment scale sediment sources using a modified composite fingerprinting technique incorporating property weightings and prior information*. *Geoderma*, 155, 249-261.
- Collins, A.L., & Walling, D.E. (2004). *Documenting catchment suspended sediment sources: problems, approaches and prospects*. *Progress in Physical Geography*, 28 (2), 159° 196.
- Collins, A.L., & Walling, D.E. (2007). *Sources of fine sediment recovered from the channel bed of lowland groundwater-fed catchments in the UK*. *Geomorphology*, 88 (1-2), 120-138.
- Collins, A.L., & Walling, D.E. (2002). *Selecting fingerprint properties for discriminating potential suspended sediment sources in river basins*. *Journal of Hydrology*, 261, 218-244.
- Collins, A. L., Walling, D. E., & Leeks, G. J. L. (1997). *Source type ascription for fluvial suspended sediment based on a quantitative composite fingerorinting technique*. *Catena*, 29 (1), 1° 27.
- Chen, F., Fang, N., & Shi, Z. (2016). *Using biomarkers as fingerprint properties to identify sediment sources in a small catchment*. *Science of the Total Environment*, 557-558, 123° 133.
- Devereux, O. H., Prestegaard, K. L., Needelman, B. A., & Gellis, A. C. (2010). Suspended-sediment sources in an urban watershed, Northeast Branch Anacostia River, Maryland. *Hydrological Processes*, 24 (11), 1391° 1403.
- Franz, C., Makeschin, F., Weib, H., & Lorz, C., (2014). *Sediments in urban river basins: Identification of sediment sources within the Lago Paranoá catchment, Brasilia DF, Brazil – using the fingerprint approach*. *Science of the Total Environment*, 466-467, 513° 523.
- Haddadghi, A., Ryder, D.S, Evrard,O., & Olley, J. (2013). *Sediment fingerprinting in fluvial systems: Review of tracers, sediment sources and mixing models*. *International Journal of Sediment Research*, 28, 560-578.
- Koiter, A.J., Owens, P.N., Petticrew, E.L., & Lobb, D.A., (2013). *The behavioural characteristics of sediment properties and their implications for sediment fingerprinting as an approach for identifying sediment sources in river basins*. *Earth-Science Reviews*, 125, 24° 42.
- Motha J. A., Wallbrink P. J., Hairsine P. B., & Grayson R. B. (2004). *Unsealed roads as suspended sediment sources in an agricultural catchment in south-eastern Australia*. *Journal of Hydrology*, 286 (1° 4), 1° 18.
- Nosrati, K., Govers, G., Semmens, B.X., & Ward, J.V. (2014). *A mixing model to incorporate uncertainty in sediment fingerprinting*. *Geoderma*, 217-218, 173° 180.

- Sadeghi, S.H.R. (2005). *A semi-detailed technique for soil erosion mapping based on BLM and satellite image application*. *Journal of Agricultural Science Technology*, 7, 133-142.
- Slattery M., Walden J., & Burt T. P. (2000), *Fingerprinting suspended sediment sources using mineral magnetic measurements- A quantitative approach*. Tracers in geomorphology, John Wiley and Sons: 309° 322.
- Patrick Laceby, J., McMahon, J., Evrard, O., & Olley, J. (2015). *A comparison of geological and statistical approaches to element selection for sediment fingerprinting*. *Journal of Soils Sediments*, 15, 2117° 2131.
- Palazón, L., Gaspar, L., Latorre, B., Blake, W., & Navas, A., (2015). *Identifying sediment sources by applying a fingerprinting mixing model in a Pyrenean drainage catchment*, *Journal of Soils Sediments*, 15, 2067-2085.
- Russell, M.A., Walling, D.E., & Hodgkinson, R.A., (2001). *Suspended sediment sources in two small lowland agricultural catchments in the UK*. *Journal of Hydrology*, 252, 1-24.
- Walling, D., Collins, A. & Stroud, R. (2008). *Tracing suspended sediment and particulate phosphorus sources in catchments*. *Journal of Hydrology*, 350, 274-289.
- Walling, D.E. (2005). *Tracing suspended sediment sources in catchments and river systems*. *Science of the Total Environment*, 344, 159-184.
- Walling, D. E., Owens, P. N., & Leeks, G. J. L., (1999). Fingerprinting suspended sediment sources in the catchment of the River Ouse, Yorkshire, UK. *Hydrological Processes*, 13, 955-975.
- Wang, Y., Chen, L., Fu, B., & Lu, Y. (2014). *Check dam sediments: an important indicator of the effects of environmental changes on soil erosion in the Loess Plateau in China*. *Environ Monit Assess*, 186, 4275° 4287.
- Zhang, X., Li, Z.W., Tang, Z.H., Zeng, G.M., Huang, J.Q., Guo, W., Chen, X.L., & Hirsh, A. (2013). *Effects of water erosion on the redistribution of soil organic carbon in the hilly red soil region of southern China*. *Geomorphology*, 197, 137° 144.

پژوهشگاه علوم انسانی و مطالعات فرهنگی
پرستال جامع علوم انسانی